

УДК 621.372.061

Моделирование распределенных и дробно-распределенных процессов и систем управления в СКМ спектральным методом

В.В. Рыбин

Аннотация

В настоящее время для моделирования систем управления спектральным методом применяются различные системы компьютерной математики (СКМ) и пакеты их расширения. Современные технологии, связанные с фрактальным подходом в различных прикладных областях, в частности в теории динамических систем, порождают новую элементную базу, математические модели которой содержат дробные интегрирующие и дифференцирующие операторы.

В данной статье спектральный метод применяется для моделирования распределенных и дробно-распределенных процессов и систем управления. Для моделирования таких систем модифицирован пакет расширения MLSY_SM СКМ Mathcad. Применение этого пакета демонстрируется на примере решения уравнения аномальной диффузии и моделировании системы управления ядерной энергетической установкой с распределенными параметрами, которая содержит дробный ПИД регулятор.

Ключевые слова

нестационарные системы автоматического управления; спектральная форма математического описания; системы компьютерной математики; дробные интегрирующие и дифференцирующие звенья; аномальная диффузия; ядерная энергетическая установка.

1. Введение

В настоящее время теория дробных операторов находит все большее применение в теории управления и других предметных областях [1-4]. Микро- и нанотехнологии позволяют создавать технические элементы, которые физически реализуют дробные интегральные и дифференциальные операторы. Для систем автоматического управления предложена методика проектирования ПИД регуляторов дробного порядка [4]. В работе [5] спектральный метод [6-12] развит на нестационарные системы управления, содержащие дробные интегрирующие и дифференцирующие звенья, а для моделирования дробных систем управления летательными аппаратами модернизированы пакеты

расширения MLSY_SM, Spektr_SM+Simulink+Matlab, Spektr_SM+VisSim+Mathcad СКМ [12-18] расчета нестационарных непрерывных, дискретных и непрерывно-дискретных систем управления летательными аппаратами с сосредоточенными параметрами.

Заметим также, что для решения современных энергоемких задач работы космических аппаратов требуется энергия, дать которую в настоящее время способны только ядерные энергетические установки (ЯЭУ). Модели ЯЭУ описываются диффузионными уравнениями, а системы управления могут содержать дробные ПИД регуляторы. Спектральный метод удобен для моделирования таких систем управления ЯЭУ. Поэтому для моделирования таких систем управления модифицирован пакет расширения MLSY_SM СКМ Mathcad.

В данной статье спектральный метод применяется для моделирования распределенных и дробно-распределенных процессов и систем управления с использованием пакета расширения MLSY_SM СКМ Mathcad. Применение этого пакета демонстрируется на примере решения уравнения аномальной диффузии [20] и моделировании системы управления ядерной энергетической установкой с распределенными параметрами [21], которая содержит дробный ПИД регулятор.

2. Основные характеристики спектральной формы математического описания одномерных распределенных систем управления

Спектральные характеристики для представления функций времени и/или вектора состояния, а также линейных операторов определяются с использованием табличной формы представления многомерных матриц [9,10]. Рассмотрим здесь только некоторые спектральные характеристики описания одномерных распределенных процессов и систем, определенных относительно ортонормированных систем функций.

Пусть $(\theta, x) \in Q$, где $\theta \in T = [0, t]$ - конечный промежуток времени, $x \in \Omega = [a, b] \subseteq R$, а система функций $\{e(i_0, i_1, \theta, x)\}_{i_0, i_1=0}^{\infty}$ образует ортонормированный базис пространства $L_2(Q)$. Тогда гиперстолбец $H(2, 0) = (h_{i_0 i_1})$, элементы которой представляют собой коэффициенты разложения функции $h(\theta, x) \in L_2(Q)$ в ряд по функциям базисной системы, называется *спектральной характеристикой функции времени и координаты состояния* $h(\theta, x)$, т.е.

$$S[h(\theta, x)] = H(2, 0) \quad (1)$$

где

$$h_{i_0 i_1} = (e(i_0, i_1, \theta, x), h(\theta, x))_{L_2(Q)}, \quad i_0, i_1 = 0, 1, 2, \dots \quad (2)$$

Обратный переход от спектральной характеристики к соответствующей функции времени осуществляется по *формуле обращения*

$$h(\theta, x) = S^{-1}[H(2,0)] = \sum_{i_0=0}^{\infty} \sum_{i_1=0}^{\infty} h_{i_0 i_1} \cdot e(i_0, i_1, \theta, x), \quad (\theta, x) \in Q. \quad (3)$$

Заметим, что если система функций $\{\varphi(i, \theta)\}_{i=0}^{\infty}$ образует базис пространства $L_2(T)$, а система $\{p(i_1, x)\}_{i_1=0}^{\infty}$ является базисом пространства $L_2(\Omega)$ и $h(\theta, x) = h_0(\theta) \cdot h_1(x)$, где $h_0(\theta) \in L_2(T)$, $h_1(x) \in L_2(\Omega)$, то спектральную характеристику функции $h(\theta, x)$, определенную относительно базисной системы $\{e(i_0, i_1, \theta, x) = \varphi(i_0, \theta) \cdot p(i_1, x)\}_{i_0, i_1=0}^{\infty}$, можно представить в виде

$$H(2,0) = H_0(1,0) \otimes H_1(1,0), \quad (4)$$

где $H_0(1,0)$ - спектральная характеристика функции $h_0(\theta)$, определенная относительно базисной системы $\{\varphi(i_0, \theta)\}_{i_0=0}^{\infty}$; $H_1(1,0)$ - спектральная характеристика функции $h_1(x)$, определенная относительно базисной системы $\{p(i_1, x)\}_{i_1=0}^{\infty}$.

В дальнейшем, по мере необходимости, при описании систем управления в спектральной области, спектральные характеристики (1) будем называть гиперстолбцовыми матрицами нестационарных спектральных характеристик (ГСМ НСХ).

Линейные операторы. Пусть \tilde{M} - линейный оператор, определенный на пространстве $L_2(Q)$, а $\{e(i_0, i_1, \theta, x)\}_{i_0, i_1=0}^{\infty}$ - ортонормированный базис этого пространства, $Q = T \times \Omega$, $\theta \in T = [0, t]$, $x \in \Omega = [a, b] \subseteq R$.

Гиперквадратная матрица $M(2,2) = (m_{i_0 i_1 j_0 j_1})$, элементы которой определяются формулой $m_{i_0 i_1 j_0 j_1} = (e(i_0, i_1, \theta, x), \tilde{M}e(j_0, j_1, \theta, x))_{L_2(Q)}$, $i_0, i_1, j_0, j_1 = 0, 1, 2, \dots$,

называется *спектральной характеристикой оператора \tilde{M}* , т.е.

$$S[\tilde{M}] = M(2,2). \quad (5)$$

Заметим, что

$$S[\tilde{M}h(\theta, x)] = M(2,2) \cdot H(2,0), \quad (6)$$

т.е. спектральная характеристика образа функции $h(t, x)$ равна произведению спектральной характеристики оператора \tilde{M} и спектральной характеристики функции $h(t, x)$.

Приведем *свойства спектрального преобразования линейных операторов, определенных на пространстве $L_2(Q)$* .

1. Спектральное преобразование тождественного оператора. Спектральная характеристика тождественного оператора I представляет собой единичную матрицу размерности 4: $S[I] = E(2, 2)$.

2. Спектральное преобразование композиции операторов. Спектральная характеристика композиции линейных операторов \tilde{M} и \tilde{N} равна произведению их спектральных характеристик:

$$S[\tilde{M} \circ \tilde{N}] = S[\tilde{M}] \cdot S[\tilde{N}] = M(2, 2) \cdot N(2, 2), \quad (7)$$

где $M(2, 2) = S[\tilde{M}]$, $N(2, 2) = S[\tilde{N}]$.

3. Спектральное преобразование обратного оператора. Предположим, что для линейного оператора \tilde{M} существует обратный оператор \tilde{M}^{-1} . Тогда спектральная характеристика обратного оператора равна обратной спектральной характеристике оператора \tilde{M} :

$$S[\tilde{M}^{-1}] = M^{-1}(2, 2), \quad (8)$$

где $M(2, 2) = S[\tilde{M}]$.

Примеры линейных операторов

1. Операторы умножения. Линейный оператор \tilde{A} называется *оператором умножения* на функцию $a(\theta, x)$, если для любой функции $h(\theta, x) \in L_2(Q)$ справедливо выражение $\tilde{A}h(\theta, x) = a(\theta, x)h(\theta, x)$, где $a(\theta, x)$ - локально интегрируемая функция на множестве $Q = T \times \Omega$, $\theta \in T = [0, t]$, $x \in \Omega = [a, b] \subseteq R$. Тогда гиперквадратная матрица $A(2, 2) = (a_{i_0 i_1 j_0 j_1})$, элементы которой определяются формулой $a_{i_0 i_1} = (e(i_0, i_1, \theta, x), a(\theta, x) \cdot e(i_0, i_1, \theta, x))_{L_2(Q)}$; $i_0, i_1, j_0, j_1 = 0, 1, 2, \dots$ называется *спектральной характеристикой оператора умножения* на функцию $a(\theta, x)$, т.е. $S[\tilde{A}] = A(2, 2)$.

Заметим, что если система функций $\{\varphi(i, \theta)\}_{i=0}^{\infty}$ образует базис пространства $L_2(T)$, а система $\{p(i_1, x)\}_{i_1=0}^{\infty}$ является базисом пространства $L_2(\Omega)$ и $a(\theta, x) = a_0(\theta) \cdot a_1(x)$, где $a_0(\theta) \in L_2(T)$, $a_1(x) \in L_2(\Omega)$, то спектральную характеристику оператора умножения $a(\theta, x)$, определенную относительно базисной системы $\{e(i_0, i_1, \theta, x) = \varphi(i_0, \theta) \cdot p(i_1, x)\}_{i_0, i_1=0}^{\infty}$, можно представить в виде

$$A(2, 2) = A_0(1, 1) \otimes A_1(1, 1) \quad (9)$$

где $A_0(1, 1)$ - спектральная характеристика оператора умножения на функцию $a_0(\theta)$, определенная относительно базисной системы $\{\varphi(i, \theta)\}_{i=0}^{\infty}$; $A_1(1, 1)$ - спектральная

характеристика оператора умножения на функции $a_1(x)$, определенная относительно базисной системы $\{p(i_1, x)\}_{i_1=0}^{\infty}$.

2. Операторы интегрирования. Рассмотрим операторы интегрирования, заданные на пространстве $L_2(Q)$. Будем рассматривать оператор дробного интегрирования по времени [1, 5]:

$$D_{0+|\theta}^{-\mu} h(\theta, x) = \int_0^{\theta} \frac{(\theta - \tau)^{\mu-1}}{\Gamma(\mu)} h(\tau, x) d\tau, \quad (10)$$

а также оператор дробного интегрирования по координате состояния [1, 5]:

$$D_{a+|x}^{-\mu} h(\theta, x) = \int_a^x \frac{(x - \xi)^{\mu-1}}{\Gamma(\mu)} h(\theta, \xi) d\xi. \quad (11)$$

Эти операторы при $\mu = 1, 2, \dots, m$ превращаются в обычные интегралы m -го порядка [1].

Спектральные характеристики операторов дробного интегрирования $D_{0+|\theta}^{-\mu}$ и $D_{a+|x}^{-\mu}$, определенные относительно базисной системы $\{e(i_0, i_1, \theta, x)\}_{i_0, i_1=0}^{\infty}$ пространства $L_2(Q)$, вычисляются по определению спектральных характеристик линейных операторов и обозначаются $P^{-\mu}(2, 2) = (P_{i_0 i_1 j_0 j_1}^{-\mu})$, $P_1^{-\mu}(2, 2) = (P_{i_1 i_2 j_1 j_2}^{-\mu})$ соответственно:

$$P_{i_0 i_1 j_0 j_1}^{-\mu} = \left(e(i_0, i_1, \theta, x), \int_0^{\theta} \frac{(\theta - \tau)^{\mu-1}}{\Gamma(\mu)} e(j_0, j_1, \theta, x) d\tau \right)_{L_2(Q)},$$

$$P_{i_0 i_1 j_0 j_1}^{-\mu} = \left(q(i_0, i_1, \theta, x), \int_a^x \frac{(x - \xi)^{\mu-1}}{\Gamma(\mu)} p(j_0, j_1, \theta, \xi) d\xi \right)_{L_2(Q)}, \quad i_0, i_1, j_0, j_1 = 0, 1, 2, \dots$$

В случае если функции базисной системы пространства $L_2(Q)$ представляются в виде $\{e(i_0, i_1, \theta, x) = \varphi(i_0, \theta) \cdot p(i_1, x)\}_{i_0, i_1=0}^{\infty}$, т.е. в виде произведения функций базисных систем пространств $L_2(T)$ и $L_2(\Omega)$, то спектральные характеристики операторов дробного интегрирования представляются в виде

$$P^{-\mu}(2, 2) = P^{-\mu}(1, 1) \otimes E(1, 1), \quad P_1^{-\mu}(2, 2) = E(1, 1) \otimes P_1^{-\mu}(1, 1). \quad (12)$$

Здесь двумерная матрица $P^{-\mu}(1, 1) = (P_{ij}^{-\mu})$, элементы которой определяются формулой

$$P_{ij}^{-\mu} = \left(\varphi(i, \theta), \int_0^{\theta} \frac{(\theta - \tau)^{\mu-1}}{\Gamma(\mu)} \varphi(j, \tau) d\tau \right)_{L_2(T)}, \quad i, j = 0, 1, 2, \dots, \quad (13)$$

называется *спектральной характеристикой оператора интегрирования дробного порядка* $\mu > 0$ по времени, т.е. $S[D_{0+|\theta}^{-\mu}] = P^{-\mu}(1,1)$ [5], а двумерная матрица $P_1^{-\mu}(1,1) = (P_{ij}^{-\mu})$, элементы которой определяются формулой

$$P_{ij}^{-\mu} = \left(p(i,x), \int_a^x \frac{(x-\xi)^{\mu-1}}{\Gamma(\mu)} p(j,\xi) d\xi \right)_{L_2(\Omega)}, \quad i, j = 0, 1, 2, \dots, \quad (14)$$

называется *спектральной характеристикой оператора интегрирования дробного порядка* $\mu > 0$ по координате состояния, т.е. $S[D_{a+|x}^{-\mu}] = P_1^{-\mu}(1,1)$.

2. Операторы дифференцирования. Будем рассматривать оператор дифференцирования по времени с учетом значения функции в начальный момент [6-10]:

$$D_{0|\theta} h(\theta, x) = \frac{dh(\theta, x)}{d\theta} + \delta(\theta)h(\theta, x), \quad (15)$$

а также операторы дифференцирования первого и второго порядков по координате состояния:

$$D_{a+|x} h(\theta, x) = \frac{\partial h(\theta, x)}{\partial x}, \quad D_{a+|x}^2 h(\theta, x) = \frac{\partial^2 h(\theta, x)}{\partial x^2} \quad (16)$$

где $h(\theta, x) \in L_2(Q)$, $Q = T \times \Omega$, $T = [0, t]$, $\Omega = [a, b] \subseteq R$.

Спектральные характеристики операторов дифференцирования $D_{0|\theta}$ и $D_{a+|x}$, определенные относительно базисной системы $\{e(i_0, i_1, \theta, x)\}_{i_0, i_1=0}^{\infty}$ пространства $L_2(Q)$, вычисляются по определению спектральных характеристик линейных операторов и обозначаются $P(2,2) = (P_{i_0 i_1 j_0 j_1})$, $\mathfrak{S}_1(2,2) = (\mathfrak{S}_{1i_1 i_2 j_1 j_2})$ соответственно:

$$P_{i_0, i_1, j_0, j_1} = \left(e(i_0, i_1, \theta, x), \frac{\partial e(j_0, j_1, \theta, x)}{\partial \theta} \right)_{L_2(Q)} + (e(i_0, i_1, \theta_0, x), e_v(j_0, j_1, \theta_0, x))_{L_2(Q)},$$

$$\mathfrak{S}_{1i_0, i_1, j_0, j_1} = \left(e(i_0, i_1, \theta, x), \frac{\partial e(j_0, j_1, \theta, x)}{\partial x} \right)_{L_2(Q)}, \quad i_0, i_1, j_0, j_1 = 0, 1, 2, \dots$$

Спектральная характеристика оператора дифференцирования $D_{a+|x}^2$ обозначается через $P_{11}(2,2)$ и определяется по свойству спектрального преобразования композиции линейных операторов:

$$\mathfrak{S}_{11}(2,2) = S[D_{a+|x}^2] = S[D_{a+|x} \circ D_{a+|x}] = S[D_{a+|x}] \cdot S[D_{a+|x}] = \mathfrak{S}_1(2,2) \cdot \mathfrak{S}_1(2,2).$$

Если функции базисной системы пространства $L_2(Q)$ представляются в виде $\{e(i_0, i_1, \theta, x) = \varphi(i_0, \theta) \cdot p(i_1, x)\}_{i_0, i_1=0}^{\infty}$, т.е. в виде произведения функций базисных систем пространств $L_2(T)$ и $L_2(\Omega)$, то

$$P(2,2) = P(1,1) \otimes E(1,1), \quad \mathfrak{S}_1(2,2) = E(1,1) \otimes \mathfrak{S}_1(1,1), \quad \mathfrak{S}_{11}(2,2) = E(1,1) \otimes \mathfrak{S}_{11}(1,1). \quad (17)$$

В приведенных выражениях $P(1,1)$ - спектральная характеристика оператора дифференцирования по времени с учетом значения функции в начальный момент, определенная относительно базисной системы $\{\varphi(i, \theta)\}_{i=0}^{\infty}$ пространства $L_2(T)$, а $\mathfrak{S}_1(2,2)$ и $\mathfrak{S}_{11}(1,1)$ - спектральные характеристики операторов дифференцирования первого и второго порядка по координате состояния, определенные относительно базиса $\{p(i_1, x)\}_{i_1=0}^{\infty}$ пространства $L_2(\Omega)$ [5, 9, 10].

Композиция операторов дифференцирования (15)-(16) и дробного интегрирования (10)-(11) порождает операторы дробного дифференцирования [1, 5].

Приведем здесь только два свойства спектрального преобразования операторов дробного дифференцирования.

а) Свойство спектрального преобразования операторов дробного дифференцирования (модифицированного) γ -го порядка ($0 < \gamma \leq 1$) по времени при заданных начальных условиях:

$$\begin{aligned} & S \left[D_{\theta_0|\theta}^{\gamma} h(\theta, x) \Big|_{h_{1-\lambda|\theta}(\theta_0, x) = h_{1-\lambda|\theta_0}(x)} \right] = \\ & \quad = P^{\gamma}(2,2) \cdot H(2,0) - \varphi(1,0; \theta_0) \otimes H_{1-\lambda|0}(1,0) \\ & \left(S \left[{}^* D_{\theta_0|\theta}^{\gamma} h(\theta, x) \Big|_{h(\theta_0, x) = h_0(x)} \right] = \right. \\ & \quad \left. = P_*^{\lambda}(2,2) \cdot H(2,0) - (P^{-(1-\lambda)}(1,1) \cdot \varphi(1,0; \theta_0)) \otimes H_0(1,0) \right), \end{aligned} \quad (18)$$

где $P^{\gamma}(2,2) = P^{\gamma}(1,1) \otimes E(1,1)$ ($P_*^{\lambda}(2,2) = P_*^{\lambda}(1,1) \otimes E(1,1)$) - спектральная характеристика оператора (модифицированного оператора) дробного дифференцирования первого порядка по времени, определенная относительно базисной системы разложения $\{\varphi(i_0, \theta)\}_{i_0}^{\infty}$ пространства $L_2(T)$, а $H_{1-\lambda|0}(1,0)$ ($H_0(1,0)$) - спектральная характеристика начального условия $h_{1-\lambda|\theta_0}(x)$ ($h_0(x)$), определенная относительно базисной системы разложения $\{p(i_1, x)\}_{i_1=0}^{\infty}$ пространства $L_2(\Omega)$.

б) Свойство спектрального преобразования операторов дробного дифференцирования (модифицированного) α -го порядка ($1 < \alpha \leq 2$) по координате состояния при заданных краевых условиях первого рода:

$$\begin{aligned}
& S \left[D_{a|x}^\alpha h(\theta, x) \Big|_{h_{2-\alpha|x}(\theta, a)=h_{2-\alpha|a}(\theta), h_{2-\alpha|x}(\theta, b)=h_{2-\alpha|b}(\theta)} \right] = \\
& = \mathfrak{I}_{11}^\alpha(2,2) \cdot H(2,0) - \mathfrak{I}_1(2,2) \cdot [\psi_{2-\alpha|b}(1,0) \otimes p(1,0;b) - \psi_{2-\alpha|a}(1,0) \otimes p(1,0;a)] \quad (19) \\
& \left(S \left[{}^* D_{a|x}^\alpha h(\theta, x) \Big|_{h(\theta, a)=h_a(\theta), h(\theta, b)=h_b(\theta)} \right] = \right. \\
& \left. = \mathfrak{I}_{11^*}^\alpha(2,2) \cdot H(2,0) - \mathfrak{I}_{1^*}^\alpha(2,2) \cdot [\psi_b(1,0) \otimes p(1,0;b) - \psi_a(1,0) \otimes p(1,0;a)] \right),
\end{aligned}$$

где $\mathfrak{I}_{11}^\alpha(2,2) = E \otimes (-\mathfrak{I}_1(1,1)\mathfrak{I}_1^T(1,1)P_1^{-(2-\alpha)}(1,1))$, $\mathfrak{I}_{11^*}^\alpha(2,2) = E \otimes (-P_1^{-(2-\alpha)}(1,1)\mathfrak{I}_1(1,1)\mathfrak{I}_1^T(1,1))$, $\mathfrak{I}_1(2,2) = E \otimes \mathfrak{I}_1(1,1)$, $\mathfrak{I}_{1^*}(2,2) = E \otimes P_1^{-(2-\alpha)}(1,1)\mathfrak{I}_1(1,1)$ - спектральные характеристики операторов (модифицированных операторов) дробного дифференцирования второго и первого порядков по координате состояния, определенные относительно базисной системы разложения $\{p(i_1, x)\}_{i_1=0}^\infty$ пространства $L_2(\Omega)$, а $\psi_{2-\alpha|b}(1,0)$ и $\psi_{2-\alpha|a}(1,0)$ ($\psi_b(1,0)$ и $\psi_a(1,0)$) - спектральные характеристики краевых условий $h_{2-\alpha|b}(\theta)$ и $h_{2-\alpha|a}(\theta)$ ($h_b(\theta)$ и $h_a(\theta)$), определенные относительно базисной системы разложения $\{\varphi(i_0, \theta)\}_{i_0}^\infty$ пространства $L_2(T)$.

3. Гиперматричные передаточные функции ОРП и СРП и переходные блоки

В дальнейшем, по мере необходимости, при описании систем управления в спектральной области, спектральные характеристики любых линейных операторов (5) будем называть *гиперматричными передаточными функциями (ГМПФ)*.

Как известно [22,23] одномерная ИПФ $G(\theta, \tau_0, x, \xi_0)$ ОРП является решением краевой задачи

$$\begin{aligned}
& a_1(\theta, x) \frac{\partial^2 u(\theta, x)}{\partial \theta^2} + a_2(\theta, x) \frac{\partial u(\theta, x)}{\partial \theta} = b_1(\theta, x) \frac{\partial^2 u(\theta, x)}{\partial x^2} + b_2(\theta, x) \frac{\partial u(\theta, x)}{\partial x} + \\
& + b_3(\theta, x)u(\theta, x) + \delta(\theta - \tau_0) \delta(x - \xi_0); a < x < b, \theta > 0; \quad (20)
\end{aligned}$$

$$u(0, x) = \frac{\partial u(0, x)}{\partial \theta} = 0, \quad x \in [a, b]; \quad (21)$$

$$\alpha(\theta, a)u(\theta, a) + \beta(\theta, a) \frac{\partial u(\theta, a)}{\partial x} = 0, \quad \theta > 0; \quad (22)$$

$$\alpha(\theta, b)u(\theta, b) + \beta(\theta, b) \frac{\partial u(\theta, b)}{\partial x} = 0, \quad \theta > 0 \quad (23)$$

и существенно зависит от краевых условий (22)-(23). Преобразование задачи (20)-(23) в спектральную область позволяет найти ГМПФ ОРП. Кроме того, формулы связи для ДНПФ последовательного, параллельного соединения и соединения с обратной связью в спектральной области для систем с сосредоточенными параметрами [6,7] остаются

справедливыми и для ГМПФ последовательного, параллельного соединения и соединения с обратной связью систем с распределенными параметрами [11].

Пусть регулирование распределенной системы [22, 23] осуществляется с помощью сосредоточенного регулятора, который измеряет состояние распределенной системы в одной точке одномерной области определения выходного сигнала и производит регулирующее воздействие на распределенный блок также в одной точке области определения его входного сигнала.

Формирование математической модели такой системы управления в спектральной области связано с введением двух переходных блоков, у которых пространственная размерность входного сигнала не совпадает с пространственной размерностью выходного сигнала. Для одномерного случая эти переходные блоки описываются ИПФ $\delta(x - \alpha)$ и $\delta(\alpha - \xi)$, а их ГМПФ имеют вид

$$W_{\alpha}(2,2) = E \otimes D_{\alpha} \quad (24)$$

и

$$W_{\beta}(2,2) = E \otimes D^{\beta}, \quad (25)$$

где

$$D_{\alpha}(j,i) = \int_{\Omega} \int_{\Omega} \delta(\alpha - \xi) p(j,x) p(i,\xi) d\xi dx = \int_{\Omega} p(j,x) dx \cdot p(i,\alpha), \quad (26)$$

$$D^{\beta}(j,i) = \int_{\Omega} \int_{\Omega} \delta(x - \beta) p(j,x) p(i,\xi) d\xi dx = p(j,\beta) \int_{\Omega} p(i,\xi) d\xi. \quad (27)$$

Заметим, что более общие модели переходных блоков рассмотрены в работах [22, 23]. Для них также легко находятся их ГМПФ.

3. Моделирование диффузионных процессов с применением пакета расширения MLSY_SM+Mathcad

Пример 1. Моделирование процесса аномальной диффузии

Будем решать спектральным методом краевую задачу для уравнения аномальной диффузии [21]

$$D_{0|\theta}^{\gamma} h(\theta, x) = a(x) D_{a+|x}^{\alpha} h(\theta, x) + g(\theta, x), \quad (28)$$

которое получается из классического дифференциального уравнения диффузии

$$\frac{\partial h(\theta, x)}{\partial \theta} = a(x) \frac{\partial^2 h(\theta, x)}{\partial x^2} + g(\theta, x)$$

заменой производной второго порядка по пространственной координате на дробную производную Римана-Лиувилля порядка $1 < \alpha \leq 2$ и производной по времени первого порядка на дробную производную Римана-Лиувилля порядка $0 < \gamma \leq 1$.

Здесь, как и в стандартном уравнении диффузии $h(\theta, x)$ - функция концентрации вещества на отрезке $a \leq x \leq b$; $g(\theta, x)$ - функция источника/стока на данном отрезке; $a(x)$ - коэффициент диффузии. Из физических соображений следуют условия $1 < \alpha \leq 2$, $0 < \gamma \leq 1$ и $a(x) \geq 0$. Также имеем $h_{1-\gamma}(\theta, x)|_{\theta=0} = h_{1-\gamma}(0, x) = f_1(x)$ для $a \leq x \leq b$ и граничные условия первого рода $h_{2-\alpha}(\theta, x)|_{x=a} = h_{2-\alpha}(\theta, a) = f_a(\theta)$ и $h_{2-\alpha}(\theta, x)|_{x=b} = h_{2-\alpha}(\theta, b) = f_b(\theta)$ для всех $\theta \geq 0$, где $h_{1-\gamma|\theta}(\theta, x) = I_{0|\theta}^{1-\gamma}h(\theta, x)$, $h_{2-\alpha|x}(\theta, x) = I_{0|x}^{2-\alpha}h(\theta, x)$ [5].

В качестве примера рассмотрим начально-краевую задачу, которая заданна в виде:

$$\begin{cases} D_{0|\theta}^{0.7}h(\theta, x) = a(x)D_{0+|x}^{1.7}h(\theta, x) + g(\theta, x), \\ h_{1-\gamma}(0, x) = 0, & 0 < x \leq b, \\ h_{2-\alpha}(\theta, a) = 0, & 0 < \theta \leq t, \\ h_{2-\alpha}(\theta, b) = 0.745 \cdot \theta^2, & 0 < \theta \leq t, \end{cases} \quad (29)$$

где $g(\theta, x) = \frac{\Gamma(3)}{\Gamma(2.3)}\theta^{1.3}x^2 - \theta^2x^2$ и $a(x) = \frac{\Gamma(1.3)}{\Gamma(3)}x^{1.7}$.

Точным решением начально-краевой задачи (29) является функция $h(\theta, x) = \theta^2x^2$, что может быть проверено ее прямой подстановкой в (29) и использованием формулы дробного дифференцирования [1, 2, 5].

Будем решать эту задачу спектральным методом. Для этого преобразуем заданную краевую задачу в спектральную область. Для спектрального преобразования функций времени и состояния в качестве базиса пространства $L_2(Q)$, где $Q = T \times \Omega$, $T = [0, t]$, $Q = [0, b]$, выберем такую ортонормированную систему

$$\{e(i_0, i_1, \theta, x) = \varphi(i_0, \theta) \cdot p(i_1, x)\}_{i_0, i_1}^\infty, \quad (30)$$

что системы функций $\{\varphi(i_0, \theta)\}_{i_0}^\infty$, $\{p(i_1, x)\}_{i_1}^\infty$ являются базисными системами пространств $L_2(T)$, $L_2(\Omega)$ соответственно. Применим спектральное преобразование к начально-краевой задачи (29). Тогда

$$\begin{aligned} S \left[D_{0|\theta}^{0.7}h(\theta, x) \Big|_{h_{0.3|\theta}(0, x)=0} \right] = \\ = S \left[a(x) \cdot D_{0+|x}^{1.7}h(\theta, x) \Big|_{h_{0.3|x}(\theta, b)=0.745\theta^2, h_{0.3|x}(\theta, 0)=0} \right] + S[g(\theta, x)] \end{aligned} \quad (31)$$

Рассмотрим левую часть равенства (31). Используем свойство спектрального преобразования операторов дифференцирования по времени при заданных начальных условиях (18), левую часть (31) представим в виде:

$$S \left[D_{0|\theta}^{0.7} h(\theta, x) \Big|_{h_{0.3|\theta}(0,x)=0} \right] = P^{0.7}(2,2)H(2,0), \quad (32)$$

где $P^{0.7}(2,2)$ спектральная характеристика оператора дробного дифференцирования по времени Римана-Лиувилля с учетом значения функции в начальный момент, определенная относительно базисной системы (30), для которой, согласно (17), справедливо представление

$$P^{0.7}(2,2) = P^{0.7}(1,1) \otimes E(1,1),$$

где $P^{0.7}(1,1) = P(1,1)P^{-0.3}(1,1)$ - спектральные характеристики оператора дробного дифференцирования по времени Римана-Лиувилля с учетом значения функции в начальный момент времени, определенная относительно базисной системы $\{\varphi(i_0, \theta)\}_{i_0}^\infty$; $E(1,1)$ - двумерная единичная матрица. Через $H(2,0)$ обозначена спектральная характеристика функции $h(\theta, x)$, определенная относительно той же базисной системы (30).

Рассмотрим теперь правую часть равенства (31). Используем свойство спектрального преобразования операторов дробного дифференцирования по состоянию при заданных краевых условиях (19) и свойство композиции операторов (7), правую часть (31) представим в виде:

$$S \left[a(x) \cdot D_{0|x}^{1.7} h(\theta, x) \Big|_{h_{0.3|x}(\theta,b)=0.745\theta^2, h_{0.3|x}(\theta,0)=0} \right] + S[g(\theta, x)] = B(2,2)H(2,0) + \quad (33)$$

$$+ C(2,2)(\Psi_b(1,0) \otimes p(1,0;b)) + G(2,2).$$

В (33) $B(2,2) = E(1,1) \otimes (-A(1,1) \cdot \mathfrak{I}_1(1,1) \cdot \mathfrak{I}_1^T(1,1) \cdot P_1^{-0.3}(1,1))$ и $C(2,2) = E(1,1) \otimes (A(1,1) \cdot \mathfrak{I}_1(1,1))$ - четырехмерные гиперквадратные матрицы, где $A(1,1)$ - спектральная характеристика оператора умножения, определенная относительно базисной системы $\{p(i_1, x)\}_{i_1}^\infty$; $\mathfrak{I}_1(1,1)$ - спектральная характеристика оператора дифференцирования по координате состояния, определенная относительно базисной системы $\{p(i_1, x)\}_{i_1}^\infty$; $E(1,1)$ - двумерная единичная матрица. $H(2,0)$ - спектральная характеристика функции $h(\theta, x)$, определенная относительно базисной системы $\{\varphi(i_0, \theta) \cdot p(i_1, x)\}_{i_0, i_1}^\infty$. $\Psi_b(1,0)$ - спектральная характеристика краевого условия $h_{0.3}(b, x) = \psi_b(x) = 0.745\theta^2$, определенная относительно базисной системы $\{\varphi(i_0, \theta)\}_{i_0}^\infty$. Через $p(1,0;b)$ обозначена матрица-столбец функций базисной системы $\{p(i_1, x)\}_{i_1}^\infty$ в точке $x = b$.

С учетом введенных обозначений уравнение (31) можно переписать следующим образом

$$\left[P^{0.7}(2,2) - B(2,2) \right] H(2,0) = G(2,2) + C(2,2) (\Psi_b(1,0) \otimes p(1,0;b)). \quad (34)$$

Выражая спектральную характеристику $H(2,0)$ из уравнения (34), получаем

$$H(2,0) = \left[P^{0.7}(2,2) - B(2,2) \right]^{-1} \{ G(2,2) + C(2,2) (\Psi_b(1,0) \otimes p(1,0;b)) \}. \quad (35)$$

Для получения решения задачи (29) в пространстве функции времени и состояния требуется применить формулу обращения:

$$h(\theta, x) = \sum_{j=0}^{L_1-1} \sum_{i=0}^{L_2-1} h_{j,i} \cdot \varphi(j, \theta) \cdot p(i, x), \quad (36)$$

где $h_{j,i}$ – координаты спектральной характеристики $H(2,0)$, $\theta \in [0, t]$, $x \in [0, b]$.

Для решения этой задачи используем пакет расширения Spektr_SM СКМ Mathcad [5, 12]. В качестве базисных систем $\{\varphi(i_0, \theta)\}_{i_0}^{\infty}$, $\{p(i_1, x)\}_{i_1}^{\infty}$ будем использовать полиномы Лежандра.

Решение задачи:

Листинг 1.

```

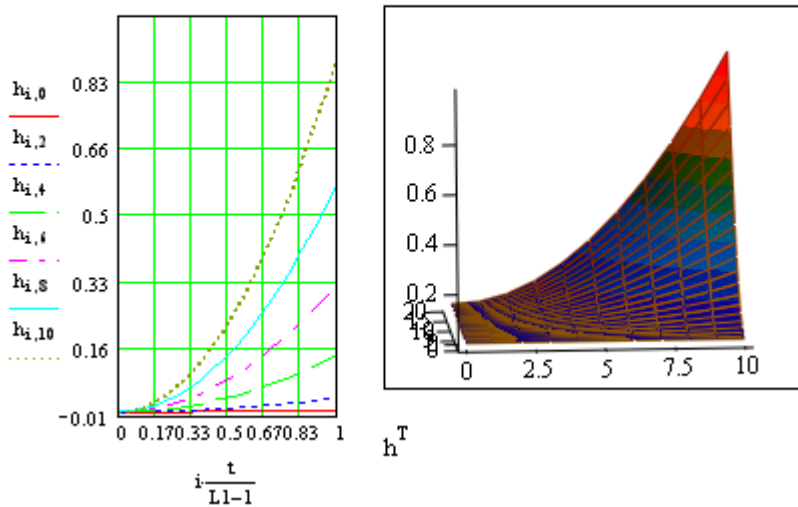
N1 := 4      <- порядок усечения матрицы ДНПФ по времени
N2 := 4      <- порядок усечения матрицы ДНПФ по состоянию
t := 1      b := 1      L1 := 20      L2 := 10
psi1(t) := 0.745 * t^2 <- краевое условие.
a(x) := (Gamma(1.3) / Gamma(3)) * x^1.7   g(theta, x) := (Gamma(3) / Gamma(2.3)) * x^2 * theta^1.3 - x^2 * theta^2
g1(theta) := (Gamma(3) / Gamma(2.3)) * theta^1.3 - theta^2   g2(x) := x^2
G2 := SNXPP1(g2, N2, b)   G1 := SNXPP1(g1, N1, t)
FN := G1 * G2^T <- ДНСХ входного распределенного воздействия.
G := FC2(FN)   A := SYZPP1(a, N1, t)   A := SYZPP1(a, N2, b)
Ibeta1 := SIbetaPP1(N1, t, 0.3)   Ibeta2 := SIbetaPP1(N2, b, 0.3)
Psi1 := SNXPP1(psi1, N1, t) <- НСХ краевого условия.
NBt := SNBPP1(L1, N1, t)
NBx := SNBPP1(L2, N2, b) <- БС полиномов Лежандра.
E1 := identity(N1)   E2 := identity(N2)

```

$P1 := SP1PP3(b, N2)$
 $I1 := SI1PP1(t, N1)$ <- ДНПФ элементарных звеньев.
 $WT := SP1PP1(t, N1) \cdot I\beta1$ $WX := A \cdot (P1 \cdot P1^T \cdot I\beta2)$
 $i := 0..N1 - 1$ $\Delta t_{i,0} := NBt_{0,i}$ $j := 0..N2 - 1$ $\Delta b_{j,0} := NBx_{L2,j}$
 $W := (TP(WT, E2) + TP(E1, WX))^{-1}$
 <- ГМПФ ДУ. Здесь TP(A,B) - программа вычисления тензорного произведения матриц A и B.
 $KY := \Psi_1 \cdot \Delta b^T$ <- матрицы ДНСХ краевых значений.
 $GK := [TP(E1, A \cdot (P1 \cdot I)) \cdot FC2(KY)]$
 <- ГСМ ДНСХ краевых значений. Здесь FC2(A) - программа вычисления гиперстолбцовой матрицы по матрице A.
 $H_{20} := W \cdot (GK + G)$ <- ГСМ ДНСХ выходного распределенного сигнала.
 $H := FM2(H_{20}, N2)$ <- матрица ДНСХ выходного распределенного сигнала.

Визуализация решения начально-краевой задачи, найденного спектральным методом.

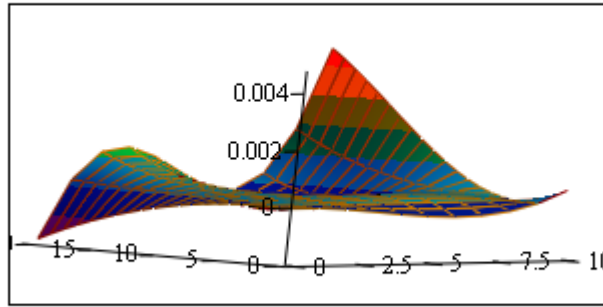
$$i := 0..L1 \quad j := 0..L2 - 1 \quad h := SNBPP1(L1, N1, t) \cdot H \cdot SNBPP1(L2, N2, b)^T$$



Аналитическое решение задачи.

$$h1(L1, L2, b, t) := \left| \begin{array}{l} \text{for } i \in 0..L1 \\ \quad \text{for } j \in 0..L2 \\ \quad \quad t1 \leftarrow i \cdot \frac{t}{L1} \\ \quad \quad x1 \leftarrow j \cdot \frac{b}{L2} \\ \quad \quad c_{i,j} \leftarrow t1^2 \cdot x1^2 \end{array} \right|_c$$

Сравнение аналитического решения задачи и решения найденного спектральным методом.



$$h_1(L_1, L_2, b, t)^T - h^T$$

Коней листинга 1.

Заметим, что если в начально-краевой задачи (29) вместо дробных производных Римана-Лиувилля использовать модифицированные производные Римана-Лиувилля [1, 2, 5], то она примет вид:

$$\begin{cases} {}^*D_{0|\theta}^{0.7}h(\theta, x) - a(x) \cdot {}^*D_{0+|x}^{1.7}h(\theta, x) = g(\theta, x), \\ h(0, x) = 0, \quad 0 < x \leq b, \\ h(\theta, a) = 0, \quad 0 < \theta \leq t, \\ h(\theta, b) = \theta^2, \quad 0 < \theta \leq t, \end{cases} \quad (37)$$

где $g(\theta, x) = \frac{\Gamma(3)}{\Gamma(2.3)}\theta^{1.3}x^2 - \theta^2x^2$ и $a(x) = \frac{\Gamma(1.3)}{\Gamma(3)}x^{1.7}$.

Применяя спектральное преобразование к начально-краевой задачи (37), получим

$$\begin{aligned} [P_*^{0.7}(2,2) - A(2,2)\mathfrak{S}_{1|*}^{1.7}(2,2)]H(2,0) = G(2,0) + \\ + A(2,2)\mathfrak{S}_{1|*}^{1.7}(2,2)(\psi_b(1,0) \otimes p(1,0,b)). \end{aligned} \quad (38)$$

Выражая спектральную характеристику $H(2,0)$ из уравнения (38), найдем

$$\begin{aligned} H(2,0) = [P_*^{0.7}(2,2) - A(2,2)\mathfrak{S}_{1|*}^{1.7}(2,2)]^{-1} \cdot \{G(2,0) + \\ + A(2,2)\mathfrak{S}_{1|*}^{1.7}(2,2)(\psi_b(1,0) \otimes p(1,0,b))\}. \end{aligned} \quad (39)$$

В (39) $\mathfrak{S}_{1|*}^{1.7}(2,2) = E(1,1) \otimes (-\mathfrak{S}_{1|*}^{1.7}(1,1) \cdot \mathfrak{S}_1^T(1,1)) = E(1,1) \otimes (-P_1^{-0.3}(1,1)\mathfrak{S}_1(1,1) \cdot \mathfrak{S}_1^T(1,1))$ и $\mathfrak{S}_1(2,2) = E(1,1) \otimes \mathfrak{S}_1^T(1,1)$ - четырехмерные гиперквадратные матрицы, где $\mathfrak{S}_1(1,1)$ - спектральная характеристика оператора дифференцирования по координате состояния, определенная относительно базисной системы $\{p(i_1, x)\}_{i_1}^\infty$, а $E(1,1)$ - двумерная единичная матрица. $H(2,0)$ - спектральная характеристика функции $h(\theta, x)$, определенная относительно базисной системы $\{\varphi(i_0, \theta) \cdot p(i_1, x)\}_{i_0, i_1}^\infty$. $\Psi_b(1,0)$ - спектральная характеристика краевого условия первого рода $h(\theta, b) = \psi_b(\theta) = \theta^2$, определенная

относительно базисной системы $\{\varphi(i_0, \theta)\}_{i_0}^\infty$. Через $p(1,0; b)$ обозначена матрица-столбец функций базисной системы $\{p(i_1, x)\}_{i_1}^\infty$ в точке $x = b$.

Точным решением этой задачи так же является функция $h(\theta, x) = \theta^2 x^2$, которая является решением задачи (29). Результаты решения задачи (37) спектральным методом совпадают с результатами, приведенными в листинге 1. Это можно показать, используя формулу связи [5] между операторами дробного дифференцирования Римана-Лиувилля и модифицированными операторами дробного дифференцирования Римана-Лиувилля. Для нашей задачи имеем:

$$D_{0|\theta}^\gamma h(\theta, x) = \frac{h(0, x)}{\Gamma(1-\gamma) \cdot \theta^\gamma} + {}^*D_{0|\theta}^\gamma h(\theta, x), \quad 0 < \gamma \leq 1;$$

$$D_{0+|x}^\alpha h(\theta, x) = \frac{h(\theta, x)}{\Gamma(1-\alpha) \cdot x^\alpha} + \frac{h_x^{(1)}(\theta, x)}{\Gamma(2-\alpha) \cdot x^{\alpha-1}} + {}^*D_{0+|x}^\alpha h(\theta, x), \quad 1 < \alpha \leq 2.$$

Пример 2. Моделирование нейтронной кинетики ядерного реактора в однокрупном диффузионном приближении

Рассмотрим описание переноса нейтронов в однокрупном диффузионном приближении, относящегося к случаю, когда коэффициент диффузии можно принять не зависящим от пространственных переменных [19, 21]:

$$\begin{aligned} \frac{1}{V} \frac{\partial \Phi(\theta, \vec{r})}{\partial \theta} &= D \nabla^2 \Phi(\theta, \vec{r}) - \sum_a (t, \vec{r}) \Phi(\theta, \vec{r}) + \\ &+ (1 - \beta_{\text{эфф}}) k_\infty(\theta, \vec{r}) \sum_a (\theta, \vec{r}) \Phi(\theta, \vec{r}) + \sum_{i=1}^M \lambda_i C_i(\theta, \vec{r}). \end{aligned} \quad (40)$$

В уравнении (40): Φ - плотность потока нейтронов; C_i - концентрация ядер-предшественников запаздывающих нейтронов i -той группы; V - средняя скорость нейтронов; D - коэффициент диффузии; \sum_a - сечение поглощения; $\beta_{\text{эфф}}$ - эффективная доля запаздывающих нейтронов; λ_i - постоянная распада ядер-предшественников i -ой группы; $k_\infty = \nu \sum_f / \sum_a$ - коэффициент размножения нейтронов для бесконечной среды, где \sum_f - сечение деления, а ν - среднее число нейтронов.

Перепишем это уравнение для плотности нейтронов N (с учетом того, что $\Phi = N \cdot V$, V - скорость нейтрона) совместно с уравнением для концентрации предшественников запаздывающих нейтронов. Получим:

$$\frac{\partial N}{\partial \theta} = \frac{L^2}{l \cdot k_{\text{эфф}} \cdot (1 + L^2 B^2)} \nabla^2 N + \left(\frac{\rho - \beta_{\text{эфф}}}{l} + \frac{L^2 B^2}{l \cdot k_{\text{эфф}} \cdot (1 + L^2 B^2)} \right) N + \sum_{i=1}^M \lambda_i C_i, \quad (41)$$

$$\frac{\partial C_i}{\partial \theta} = -\lambda_i C_i + \frac{\beta_i^{\text{эфф}}}{l} N. \quad (42)$$

В уравнениях (41) и (42): N - плотность тепловых нейтронов (мощность); $L^2 = D / \sum_a$ - квадрат длины диффузии тепловых нейтронов; B^2 - материальный

лапласиан; $\beta_i^{\text{эфф}}$ - эффективная доля запаздывающих нейтронов i -ой группы; $k_{\text{эфф}} = k_{\infty} / (1 + L^2 B^2)$ - эффективный коэффициент размножения нейтронов; $l = l_0 / k_{\text{эфф}}$ - среднее время жизни нейтронов, где $l_0 = l_{\infty} / (1 + L^2 B^2)$ - время жизни нейтронов в среде конечных размеров, а $l_{\infty} = 1 / V \cdot \sum_a$ - среднее время жизни нейтрона в бесконечной среде; $\rho = (k_{\text{эфф}} - 1) / k_{\text{эфф}}$ - реактивность.

Линеаризуем диффузионные уравнения (41), (42). Для этого представим значения каждой из функций $N(\theta, \vec{r}), C_i(\theta, \vec{r})$ в отклонениях от соответствующих величин в стационарном состоянии, т.е.

$$N(\theta, \vec{r}) = N(0, \vec{r}) + \delta N(\theta, \vec{r}) = N_0 + \delta N; C_i(\theta, \vec{r}) = C_i(0, \vec{r}) + \delta C_i(\theta, \vec{r}) = C_{i0} + \delta C_i$$

и учтем, что в стационарном состоянии $\nabla^2 N(\vec{r}) + B^2 N(\vec{r}) = 0$. Тогда для плоского реактора (одномерный случай) в отклонениях от стационарного состояния их можно записать, с учетом начальных и краевых условий, в виде

$$\left\{ \begin{array}{l} \frac{\partial \tilde{n}(\theta, x)}{\partial \theta} - \frac{L^2}{l \cdot (1 + L^2 B^2)} \left[\frac{\partial^2 \tilde{n}(\theta, x)}{\partial x^2} + B^2 \tilde{n}(\theta, x) \right] + \frac{\beta_{\text{эфф}}}{l} \tilde{n}(\theta, x) - \\ - \frac{1}{l} \sum_{i=1}^6 \beta_i^{\text{эфф}} \tilde{c}_i(\theta, x) = \frac{N_0(x)}{l \cdot N_0^{\text{max}}} \delta \rho(\theta, x); \\ \frac{\partial \tilde{c}_i(\theta, x)}{\partial \theta} + \lambda_i \tilde{c}_i(\theta, x) = \frac{\beta_i^{\text{эфф}} N_0^{\text{max}}}{l \cdot C_0^{\text{max}}} \tilde{n}(\theta, x); \\ i = 0, 1, \dots, 6; 0 < x < b; \theta > 0; \\ \tilde{n}(0, x) = \tilde{n}_0(x) = 0, \tilde{c}_i(0, x) = \tilde{c}_{i0}(x) = 0; \\ \tilde{n}(\theta, 0) = \tilde{n}(\theta, b) = 0, \end{array} \right. \quad (43)$$

где $\tilde{n}(\theta, x) = \delta N(\theta, x) / N_0^{\text{max}}$ - безразмерная нормированная плотность потока нейтронов, $\tilde{c}_i(\theta, x) = \delta C_i(\theta, x) / C_0^{\text{max}}$ - нормированное отклонение концентрации ядер-предшественников запаздывающих нейтронов i -ой группы.

Решение начально-краевой задачи (43) выполним с использованием спектральной формы математического описания [9-12]. Для спектрального преобразования функций времени и состояния в качестве базиса пространства $L_2(Q)$, где $Q = T \times \Omega$, $T = [0, t_1]$, $\Omega = [0, b]$, выберем такую ортонормированную систему $\{e(i_0, i_1, \theta, x) = \varphi(i_0, \theta) \cdot p(i_1, x)\}_{i_0, i_1=0}^{\infty}$, что системы функций $\{\varphi(i_0, \theta)\}_{i_0=0}^{\infty}$ и $\{p(i_1, x)\}_{i_1=0}^{\infty}$ являются базисными системами пространств $L_2(T)$ и $L_2(\Omega)$ соответственно.

Применим спектральное преобразование к системе уравнений (43). Так как ГСМ НСХ частных производных, входящих в систему уравнений (43), с учетом начальных и краевых условий, вычисляются по правилам: $S \left[\frac{\partial \tilde{n}(\theta, x)}{\partial \theta} \right] = P(2, 2) \tilde{N}(2, 0)$,

$$S\left[\frac{\partial \tilde{c}_i(\theta, x)}{\partial \theta}\right] = P(2,2)\tilde{C}_i(2,0), \quad S\left[\frac{\partial^2 \tilde{n}(\theta, x)}{\partial x^2}\right] = \mathfrak{T}_{11}(2,2)\tilde{N}(2,0), \quad \text{а ГСМ НСХ}$$

$$S\left[\frac{N_0(x)}{N_0^{\max}} \delta \rho(\theta, x)\right] = A(2,2)G(2,0), \quad \text{где} \quad P(2,2) = P(1,1) \otimes E(1,1),$$

$\mathfrak{T}_{11}(2,2) = E(1,1) \otimes (-\mathfrak{T}_1(1,1) \mathfrak{T}_1^T(1,1))$, $A(2,2) = E(1,1) \otimes A(1,1)$, то краевая задача (43) в спектральной области записывается в виде

$$\left\{ \begin{array}{l} P(2,2)\tilde{N}(2,0) - \frac{L^2}{l \cdot (1 + L^2 B^2)} [\mathfrak{T}_{11}(2,2)\tilde{N}(2,0) + B^2 \tilde{N}(2,0)] + \frac{\beta_{\text{эфф}}}{l} \tilde{N}(2,0) - \\ - \frac{1}{l} \sum_{i=1}^6 \beta_i^{\text{эфф}} \tilde{C}_i(2,0) = \frac{1}{l} A(2,2)G(2,0); \\ P(2,2)\tilde{C}_i(2,0) + \lambda_i \tilde{C}_i(2,0) = \frac{\beta_i^{\text{эфф}} N_0^{\max}}{l \cdot C_0^{\max}} \tilde{N}(2,0). \end{array} \right. \quad (44)$$

Решая систему матричных уравнений (44), находим ГСМ НСХ безразмерной нормированной мощности реактора

$$\tilde{N}(2,0) = W_{\text{кин}}^6(2,2)G(2,0), \quad (45)$$

где

$$W_{\text{кин}}^6(2,2) = \frac{1}{l} \left\{ P(2,2) - \frac{L^2}{l \cdot (1 + L^2 B^2)} [\mathfrak{T}_{11}(2,2) + B^2 E] + \frac{\beta_{\text{эфф}}}{l} E + \right. \\ \left. + \frac{N_0^{\max}}{l \cdot C_0^{\max}} \sum_{i=1}^6 \lambda_i \beta_i^{\text{эфф}} [P(2,2) + \lambda_i E(2,2)]^{-1} \right\}^{-1} A(2,2) \quad (46)$$

- ГМПФ кинетики нейтронов ядерного реактора, найденная для модели с шестью группами запаздывающих нейтронов, а

$$G(2,0) = S[\delta \rho(\theta, x)] \quad (47)$$

- ГСМ НСХ входного воздействия.

Для получения решения задачи (43) в пространстве функций времени и состояния применим формулу обращения

$$u(\theta, x) = \sum_{j=0}^{L_1-1} \sum_{i=0}^{L_2-1} u_{j,i} \cdot \varphi(j, \theta) \cdot p(i, x), \quad (48)$$

где $u_{j,i}$ – координаты ГСМ НСХ $U(2,0)$, $\theta \in [0, t]$, $x \in [0, b]$.

Для решения этой задачи используем пакет расширения Spektr_SM СКМ Mathcad [5, 12]. В качестве базисных систем $\{\varphi(i_0, \theta)\}_{i_0}^{\infty}$, $\{p(i_1, x)\}_{i_1}^{\infty}$ будем использовать полиномы Лежандра. Листинг программы расчета здесь не приводится.

Результаты моделирования по рассмотренным алгоритмам, заданной реактивности $\rho(\theta) = 0.1 \cdot \beta \cdot 1(\theta - 40)$, а также параметрам, которые определяют кинетику ядерного реактора [19, 21]:

$$b = 850, L = 2.23, B = \frac{\pi}{2 \cdot b}, l = 0.001, \beta = 0.0065, \lambda_1 = 0.0124, \lambda_2 = 0.0305,$$

$$\lambda_3 = 0.111, \lambda_4 = 0.301, \lambda_5 = 1.14, \lambda_6 = 3.01, \beta_1 = 0.0002145, \beta_2 = 0.0014235,$$

$$\beta_3 = 0.0012740, \beta_4 = 0.0025675, \beta_5 = 0.0007475, \beta_6 = 0.0002730,$$

приведены на рис.1. На рис.1. а) показаны сечения поверхности безразмерной нормированной плотности потока нейтронов в плоском реакторе во времени, а на рис. 1. б) показана сама поверхность относительной плотности распределения потока нейтронов во времени и пространстве.

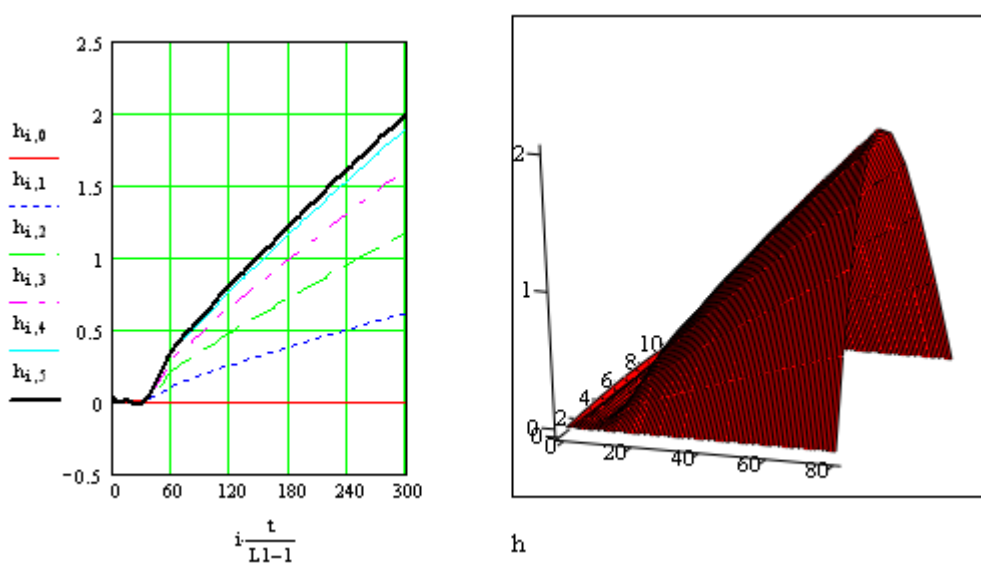


Рис. 1

4. Моделирование системы управления ядерной энергетической установкой с распределенными параметрами с применением пакета расширения MLSY_SM+Mathcad

Основной задачей автоматического управления ядерной энергетической установкой является управление нейтронной мощностью. Применение спектрального метода для математического моделирования САУ мощностью ядерного реактора, уравнения кинетики которого описываются точечной моделью, рассмотрено в работе [19]. Математическую модель САУ ядерной энергетической установкой, рассмотренной в работе [19], можно модифицировать под реактор, который описывается уравнениями кинетики с распределенными параметрами. Спектральная схема такой модифицированной САУ ядерного реактора приведена на рис 2.

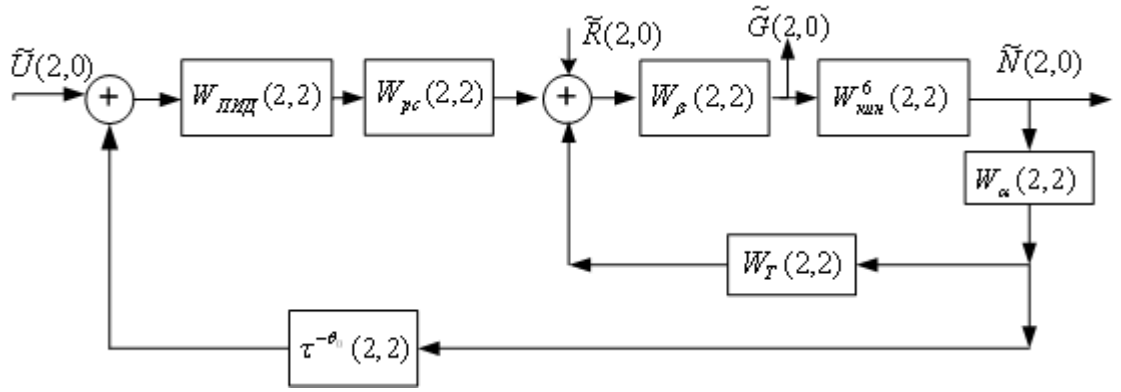


Рис. 2

В этой модели кинетика нейтронов ядерного реактора описывается ГМПФ (46), которая найдена для распределенной модели с шестью группами запаздывающих нейтронов.

Тепловые процессы, управление мощностью реактора, а также дробный ПИД регулятор и эффекты запаздывания учтены ГМПФ: $W_T(2,2) = W_T(1,1) \otimes E$, $W_{pc}(2,2) = W_{pc}(1,1) \otimes E$, $W_{PID}(2,2) = W_{PID}(1,1) \otimes E$, $W_{CD}(2,2) = W_{CD}(1,1) \otimes E$ соответственно. Эти ГМПФ сами выражаются через ДНПФ $W_T(1,1) = W_T(t,t) = -\alpha \cdot T_0 A \cdot [\tau_{oc} P(t,t) + E]^{-1}$, $W_{pc}(1,1) = W_{pc}(t,t) = k_{np} [\tau_{np} P(t,t) + E] \cdot P^{-1}(t,t)$, $W_{PID}(1,1) = W_{PID}(t,t) = k_1 E + k_2 \mathfrak{I}^\alpha(t,t) + k_3 P^{-\mu}(t,t)$, $W_{CD}(1,1) = \tau^{-\theta_0}(t,t)$, рассмотренные в работе [19].

Кроме того спектральная схема САУ ядерного реактора содержит два переходных блока $W_\alpha(2,2)$ и $W_\beta(2,2)$ (см. формулы (24)-(27)), в которых параметр $\alpha = \beta = b/2$.

По спектральной схеме САУ ядерного реактора, ГМПФ звеньев, входящих в ее состав, находим четыре ГМПФ:

$$W_{\tilde{u}}(2,2) = [E \otimes E + W_1(2,2) \cdot W_{pc}(2,2) \cdot W_{PID}(2,2) \cdot \tau^{-\theta_0}(2,2) W_\alpha(2,2)]^{-1} \times \\ \times W_1(2,2) \cdot W_{pc}(2,2) \cdot W_{PID}(2,2), \quad (49)$$

$$W_{\rho_{возм}}^{\tilde{n}}(2,2) = [E \otimes E + W_{кин}(2,2) W_\beta(2,2) (W_T(2,2) + \\ + W_{pc}(2,2) \cdot W_{PID}(2,2) \cdot \tau^{-\theta_0}(2,2)) W_\alpha(2,2)]^{-1} W_{кин}(2,2) W_\beta(2,2), \quad (50)$$

$$W_{\tilde{u}}^\rho(2,2) = [E \otimes E + W_2(2,2) \cdot W_{pc}(2,2) \cdot W_{PID}(2,2) \cdot \tau^{-\theta_0}(2,2) \times \\ \times W_\alpha(2,2) \cdot W_{кин}(2,2)]^{-1} \cdot W_2(2,2) \cdot W_{pc}(2,2) \cdot W_{PID}(2,2), \quad (51)$$

$$W_{\rho_{возм}}^\rho(2,2) = [E \otimes E + W_2(2,2) \cdot W_{pc}(2,2) \cdot W_{PID}(2,2) \cdot \tau^{-\theta_0}(2,2) \times \\ \times W_\alpha(2,2) \cdot W_{кин}(2,2)]^{-1} \cdot W_2(2,2), \quad (52)$$

где

$$W_1(2,2) = [E \otimes E + W_{кин}(2,2)W_\beta(2,2) \cdot W_\tau(2,2)W_\alpha(2,2)]^{-1} W_{кин}(2,2)W_\beta(2,2),$$

$$W_2(2,2) = [E \otimes E + W_\beta(2,2)W_\tau(2,2) \cdot W_\alpha(2,2) \cdot W_{кин}(2,2)]^{-1} \cdot W_\beta(2,2).$$

По ГМПФ (49) и (50), ГСМ НСХ приращения мощности потока нейтронов \tilde{u} и реактивности $\rho_{возм}$, вносимой внешним возмущающим воздействием, находим ГСМ НСХ для относительного приращения мощности потока нейтронов \tilde{n}

$$\tilde{N}(2,0) = W_{\tilde{u}}^{\tilde{n}}(2,2) \cdot \tilde{U}(2,0) + W_{\rho_{возм}}^{\tilde{n}}(2,2) \cdot \tilde{R}(2,0). \quad (53)$$

По ГМПФ (51) и (52), ГСМ НСХ приращения мощности потока нейтронов \tilde{u} и реактивности $\rho_{возм}$, вносимой внешним возмущающим воздействием, находим ГСМ НСХ для относительного приращения реактивности ρ

$$\tilde{G}(2,0) = W_{\tilde{u}}^\rho(2,2) \cdot \tilde{U}(2,0) + W_{\rho_{возм}}^\rho(2,2) \cdot \tilde{R}(2,0). \quad (54)$$

Для решения этой задачи используем пакет расширения Spektr_SM СКМ Mathcad [5, 12]. В качестве базисных систем $\{\varphi(i_0, \theta)\}_{i_0}^\infty$, $\{p(i_1, x)\}_{i_1}^\infty$ будем использовать полиномы Лежандра. Листинг программы расчета здесь не приводится.

Некоторые результаты моделирования САУ ядерной энергетической установки с распределенными параметрами спектральным методом (см. раздел 3, пример 2) по рассмотренным алгоритмам и заданных управления $\tilde{u}(\theta) = 0.05 \cdot (1(\theta - 20) - 0.9 \cdot 1(\theta - 75))$ и возмущении $\rho_{возм}(\theta) = 0.1 \cdot \beta \cdot (1(\theta - 40))$, а также параметрах САУ ядерной энергетической установки, заданных в [19], приведены на рис.3. На рис. 3. а) показаны сечения поверхности безразмерной нормированной плотности потока нейтронов в плоском реакторе во времени, а на рис. 3. б) показана сама поверхность относительной плотности распределения потока нейтронов во времени и пространстве.

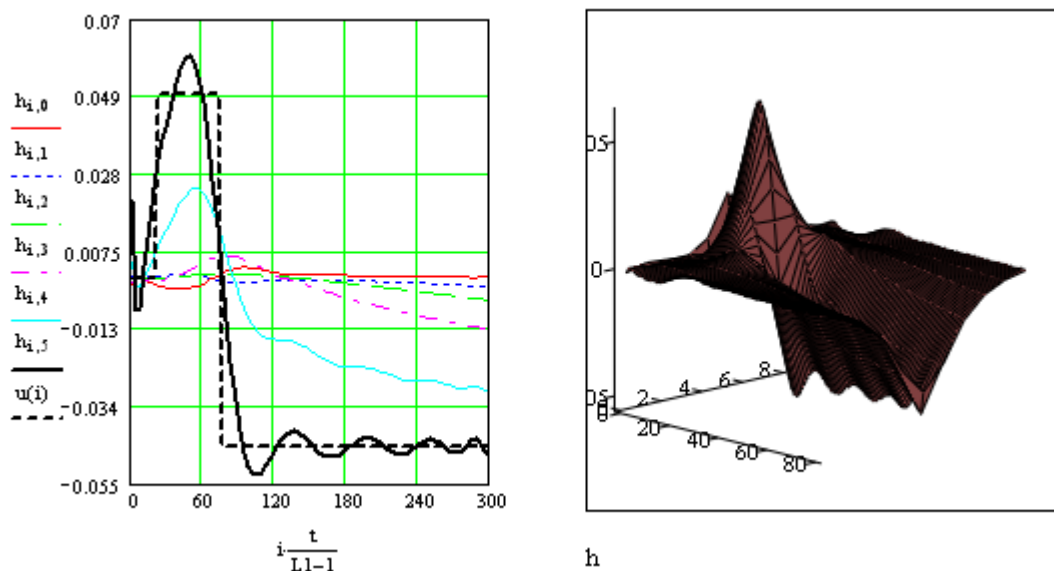


Рис. 3

В заключение заметим, что в данной статье спектральный метод применяется для моделирования распределенных и дробно-распределенных процессов и систем управления. Для моделирования таких процессов и систем модифицирован и применен пакет расширения MLSY_SM СКМ Mathcad. Этот пакет, а также пакеты расширения MLSY_SM, Spektr_SM+Simulink+Matlab, Spektr_SM+VisSim+Mathcad СКМ [12-19] позволяют проводить не только детерминированный, но и стохастический анализ распределенных САУ различных классов, а также проводить параметрическую оптимизацию параметров распределенных САУ. В частности можно исследовать влияние степени дробности операторов дробного интегрирования и дробного дифференцирования на переходные процессы, протекающие в САУ [5] и по критериям оптимальности решать задачу оптимизации параметров регулятора.

Библиографический список

1. Самко С.Г., Килбас А.А., Маричев О.И. Интегралы и производные дробного порядка и некоторые их приложения. Минск: Наука и техника. – 1987. – 688 с.
2. Васильев В.В., Симак Л.А. Дробное исчисление и аппроксимационные методы в моделировании динамических систем. – К.: НАН Украины, 2008. – 255с.
3. Потапов А.А., Гильмутдинов А.Х., Ушаков П.А. Фрактальные элементы и радиосистемы: Физические аспекты / Под ред. А.А. Потапова (Библиотека журнала «Нелинейный мир»: Научная серия «Фракталы. Хаос. Вероятность»).- М.: Радиотехника, 2009. – 200 с.

4. Бекмачев Д.А., Потапов А.А., Ушаков П.А. Проектирование фрактальных пропорционально-интегрально-дифференциальных регуляторов дробного порядка // Успехи современной радиоэлектроники. 2011. №5. С. 13 – 20.
5. Рыбин В.В. Моделирование дробных нестационарных систем управления в СКМ спектральным методом // Вестник Московского авиационного института. - 2011. Т. 18. № 6. – С.102 – 118.
6. Солодовников В.В. и др. Расчет систем управления на ЦВМ: спектральный и интерполяционный методы. – М.: Машиностроение, 1979.– 664 с.
7. Солодовников В. В., Семенов В. В. Спектральная теория нестационарных систем управления. М., Наука, 1974.– 336 с.
8. Нестационарные системы автоматического управления: анализ, синтез и оптимизация / Под ред. К.А. Пупкова и Н.Д. Егупова. – М.: Издательство МГТУ им. Н.Э. Баумана, 2007. – 632с.
9. Пантелеев А.В., Рыбаков К.А., Сотскова И.Л. Спектральный метод анализа нелинейных стохастических систем управления – М.: Вузовская книга, 2006. – 392 с.
10. Пантелеев А.В., Рыбаков К.А. Прикладной вероятностный анализ нелинейных систем управления спектральным методом. – М.: Изд-во МАИ-Принт, 2010. – 160 с.
11. Клевцов Ю. А. Спектральный метод моделирования и идентификации объектов с распределенными параметрами. Диссертация на соискание ученой степени кандидата технических наук. – Киевский политехнический институт. Киев,1984. – 97 с.
12. Рыбин В.В. Моделирование нестационарных непрерывно-дискретных систем управления спектральным методом в системах компьютерной математики.. – М.: Изд-во МАИ, 2011. – 220 с.
13. Рыбин В.В. Разработка пакета расширения MLSY_SM СКМ Mathcad в биортогональных вейвлет-базисах // Электронный журнал “Труды МАИ” – 2009, № 33. – <http://www.mai.ru>
14. Рыбин В.В. Описание сигналов и линейных нестационарных непрерывных систем управления в базисах вейвлетов. // Электронный журнал “Труды МАИ” – 2003, № 10. – <http://www.mai.ru>
15. Рыбин В.В. Разработка и применение пакетов расширения MLSY_SM СКМ Mathcad, Maple, Mathematica, Matlab.// Электронный журнал “Труды МАИ”- 2003, № 13. – <http://www.mai.ru>
16. Рыбин В.В. Разработка и применение пакета расширения Spektr_SM СКМ Matlab.// Электронный журнал “Труды МАИ” – 2003, № 13. – <http://www.mai.ru>

17. Рыбин В.В. Разработка пакета расширения MLSY_SM СКМ Mathcad в базисах Добеши М-го порядка // Электронный журнал “Труды МАИ”- 2009, № 33. – <http://www.mai.ru>
18. Рыбин В.В. Разработка пакета расширения MLSY_SM СКМ Mathcad в проекционно-сеточных финитных базисах // Электронный журнал “Труды МАИ” – 2010, № 41. – <http://www.mai.ru>
19. Рыбин В.В. Моделирование САУ ядерной энергетической установкой в СКМ спектральным методом // Электронный журнал “Труды МАИ” – 2012, № 50. – <http://www.mai.ru>
20. Петухов А.А., Ревизников Д.Л. Алгоритмы численного решения дробно-дифференциальных уравнений // Вестник Московского авиационного института. – 2009. Т. 16. №6. С.228 – 234.
21. Халимончук В.А. Динамика реактора с распределенными параметрами в исследованиях переходных режимов эксплуатации ВВЭР и РБМК. – К.: Основа, 2008. – 228 с.
22. Бутковский А.Г. Характеристики систем с распределенными параметрами (справочное пособие). – М.:Наука,1979. - 224 с.
23. Рапопорт Э.Я. Структурное моделирование объектов и систем управления с распределенными параметрами. – М.: Высшая школа, 2003 г. – 299 с.

Сведения об авторах

Рыбин Владимир Васильевич, доцент Московского авиационного института (национального исследовательского университета), тел.: +7 499 158-48-11, e-mail: vv-ribin@mail.ru